



تأثیر حرارت ورودی بر رفتار مکانیکی و تعادل فازی جوش مقاومتی نقطه‌ای فولاد زنگ نزن دوبلکس 2304

سیدحسین عربی¹، مجید پورانوری^{2*}، مجتبی موحدی²

1- دانشجوی کارشناسی ارشد، مهندسی مواد، دانشگاه صنعتی شریف، تهران

2- استادیار، مهندسی مواد، دانشگاه صنعتی شریف، تهران

* پورانvari@sharif.edu، 11365-9466 صندوق پستی

اطلاعات مقاله

مقاله پژوهشی کامل

دریافت: 07 اسفند 1395

پذیرش: 16 فروردین 1396

ارائه در سایت: 11 اردیبهشت 1396

کلید واژگان:

جوش مقاومتی نقطه‌ای

فولاد زنگ‌نزن دوبلکس

تعادل فازی

رفتار مکانیکی

چکیده

این مقاله به بررسی تأثیر حرارت ورودی فرایند جوشکاری مقاومتی نقطه‌ای بر ریزساختار و رفتار مکانیکی جوش مقاومتی نقطه‌ای فولاد زنگ‌نزن دوبلکس 2304، به عنوان گزینه‌ای مناسب برای کاربرد در صنایع خودروسازی پرداخته است. نتایج نشان داد که به دلیل سرعت بالای سردشدن در جوشکاری مقاومتی نقطه‌ای تعادل فازی فریت- آستنیت در منطقه ذوب از بین می‌رود و رسوبات نیتريدی در درون دانه‌های فریت تشکیل می‌شود. نتایج نشان داد که درصد آستنیت تشکیل شده در دکمه جوش تابع جریان جوشکاری، به عنوان مهم‌ترین متغیر مؤثر بر حرارت ورودی جوش است. افزایش جریان جوشکاری منجر به افزایش درصد آستنیت از 4% تا 18% شد. علاوه بر این افزایش جریان جوشکاری منجر به کاهش میزان رسوبات نیتريدی می‌شود. بررسی رفتار مکانیکی جوش‌ها در آزمون کشش- برش نشان داد که افزایش جریان جوشکاری منجر به بهبود ظرفیت تحمل نیرو و قابلیت جذب انرژی جوش می‌شود. بیشینه نیروی قابل تحمل و بیشینه انرژی جذب شده هنگام شکست جوش‌های مقاومتی نقطه‌ای فولاد دوبلکس 2304 به ترتیب به 25 کیلو نیوتن و 40 ژول رسید که بیانگر جوش‌پذیری بسیار خوب این فولاد است.

Influence of heat-input on mechanical behavior and phase balance of 2304 duplex stainless steel resistance spot welds

Sayyed Hassan Arabi¹, Majid Pouranvari^{1*}, Mojtaba Movahedi¹

1- Materials Science and Engineering, Sharif University of Technology, Tehran, Iran.

* P.O.B. 11365-9466 Tehran, Iran, pouranvari@sharif.edu

ARTICLE INFORMATION

Original Research Paper
Received 25 February 2017
Accepted 05 April 2017
Available Online 01 May 2017

Keywords:

Resistance spot welding
Duplex stainless steel
Phase balance
Mechanical behavior

ABSTRACT

This paper aims at investigating the effect of heat input in resistance spot welding on microstructure and mechanical behavior of 2304 duplex stainless steel, as a promising candidate for automotive application. The results showed that due to rapid cooling rate inherent to resistance spot welding, the ferrite-austenite phase balance is destroyed and nitride-type precipitates are formed within the ferrite grains. The amount of austenite in the weld nugget was a function of welding current, as the most important factor affecting welding heat input. Increasing welding current increased the austenite volume fraction from 4 to 18%. Moreover, the nitride precipitation was reduced upon using higher welding currents. Investigation of weld mechanical performance during the tensile-shear loading showed that increasing welding current enhances both load bearing capacity and energy absorption capability. The maximum achievable peak load and energy absorption of 2304 duplex stainless steel resistance spot welds were 25 kN and 40 J, indicating a superior weldability.

1- مقدمه

مقاومتی نقطه‌ای جوشکاری فولادهای استحکام بالای پیشرفته نسل اول شامل فولادهای دوفازی¹، فولادهای مارتنزیتی² و تریپ³ نشان می‌دهد که دو مشکل متالورژیکی عمده در این فولادها عبارتند از: الف- تشکیل ماتنزیت در منطقه ذوب⁴ گزارش شده است که سرعت سردشدن هنگام جوشکاری مقاومتی نقطه‌ای فولادهای کربنی بسته به ضخامت ورق از حدود 3000 درجه سانتی‌گراد بر

امروزه نیاز به افزایش امنیت سرنشینان، کاهش وزن خودرو و در نتیجه کاهش مصرف سوخت و کاهش میزان آلودگی هوا منجر به افزایش استفاده از فولادهای استحکام بالا در صنعت خودروسازی شده است [1,2]. از آنجایی که فرایند جوشکاری مقاومتی نقطه‌ای یک فرایند ساخت کلیدی در صنعت خودروسازی است هر ماده‌ای که برای بدنه خودرو انتخاب می‌شود باید جوش‌پذیری مناسبی به این روش داشته باشد [3]؛ بنابراین با توجه به ورود مواد جدید در صنعت خودروسازی بحث جوشکاری این مواد یکی از چالش‌های جدی در این زمینه است. تحقیقات گذشته در زمینه جوشکاری

¹ Dual phase steel (DP)
² Martensitic steel (MS)
³ Transformation-induced plasticity (TRIP)
⁴ Fusion zone

Please cite this article using:

S. H. Arabi, M. Pouranvari, M. Movahedi, Influence of heat-input on mechanical behavior and phase balance of 2304 duplex stainless steel resistance spot welds, *Modares Mechanical Engineering*, Vol. 17, No. 5, pp. 159-165, 2017 (in Persian)

برای ارجاع به این مقاله از عبارت ذیل استفاده نمایید:

جامد فریت به آستینت کمتر خواهد بود [20]. عنصر نیتروژن یک عنصر کلیدی در استحاله‌های فازی فولادهای دوبلکس است. افزودن عنصر نیتروژن به دلیل نقش مؤثر آن در پایدارسازی آستینت به منظور افزایش میزان آستینت و دستیابی به تعادل فازی آستینت و فریت است [21]، اما در صورت بهم خوردن تعادل فازی، وجود نیتروژن می‌تواند منجر به تشکیل نیتريد کروم شده که این رسوب‌ها می‌توانند سبب افت خواص مکانیکی و نیز مقاومت به خوردگی می‌شوند [17].

همان‌طور که در بالا یاد شد در جوشکاری مقاومتی نقطه‌ای، سرعت سرد شدن بسیار بالاست و تعادل فازی فریت-آستینت و رسوبات نیتريدی به شدت تحت تأثیر این فرایند قرار می‌گیرند؛ بنابراین با توجه به مطرح بودن فولادهای دوبلکس به عنوان گزینه جدیدی برای استفاده در بدنه خودرو، رفتار متالورژیکی این فولادها حین فرایند جوشکاری مقاومتی نقطه‌ای باید بررسی شود. مطالعات منتشر شده و در دسترس در زمینه جوشکاری مقاومتی نقطه‌ای فولادهای دوبلکس بسیار محدود است. در تنها کار منتشر شده در زمینه جوش مقاومتی نقطه‌ای فولادهای دوبلکس، رفتار متالورژیکی و خواص مکانیکی جوش فولاد 1Cr21Ni5Ti (یک گرید غیراستاندارد پرکربن، فاقد نیتروژن و حاوی تیتانیوم) بررسی شده است [22,21]. این مقاله به بررسی متالورژیکی و خواص مکانیکی فولاد دوبلکس 2304 به عنوان یک گرید استاندارد کم کربن حاوی نیتروژن می‌پردازد. تأثیر حرارت ورودی بر بالانس فازی، ظرفیت تحمل نیرو و قابلیت جذب انرژی جوش مقاومتی نقطه‌ای فولاد 2304 بررسی می‌شود.

2- روش تحقیق

در این پژوهش از ورق فولاد زنگ‌نزن دوبلکس از نوع 2304 با ضخامت 1.5 میلی‌متر به عنوان فلز پایه استفاده شده است. ترکیب شیمیایی و خواص مکانیکی این فولاد در جدول 1 مشاهده می‌شود.

برای جوشکاری از دستگاه جوشکاری مقاومتی نقطه‌ای جریان متناوب دارای کنترل‌کننده قابل برنامه‌ریزی⁵ و الکترودهای مخروطی شکل کلاس 2 با زاویه 45 درجه و قطر 8 میلی‌متر استفاده شد. مقادیر زمان فشارش⁶، زمان جوشکاری، زمان نگهداری الکتروود پس از قطع جریان و نیروی الکتروود مورد استفاده در این پژوهش در جدول 2 نشان داده شده است.

جریان جوشکاری بین 6-15 کیلوآمپر افزایش داده شده است. حد پایین جریان استفاده شده، متناظر با کمترین جریان لازم برای تشکیل دکمه جوش و حد بالای جریان استفاده شده متناظر با شروع بیرون زدگی مذاب شدید است.

جدول 1 ترکیب شیمیایی و خواص مکانیکی فولاد زنگ‌نزن دوبلکس 2304

Table 1 Chemical composition and mechanical properties of 2304 DSS

خواص مکانیکی		ترکیب شیمیایی (wt. %)				
استحکام بیشینه (MPa)	افزایش طول (%)	Ni	Cr	N	Mn	C
801	22	4.7	23.4	0.15	1.6	0.03

جدول 2 پارامترهای ثابت جوشکاری

Table 2 Constant parameters of welding			
زمان فشردن (s)	زمان جوشکاری (s)	زمان نگهداری (s)	نیروی الکتروود (kN)
0.8	0.2	0.2	4.5

⁵ Programmable logic controller

⁶ Squeeze time

ثانیه در ورق با ضخامت 2 میلی‌متر تا 8000 درجه سانتی‌گراد در ورق‌های با ضخامت 0.8 میلی‌متر تغییر می‌کند [4]. این سرعت‌های سرد شدن بالا به دلیل حضور الکترودهای مسی آبرگرد، حجم کوچک منطقه ذوب شده و زمان کوتاه این فرایند است [3]. این سرعت سرد شدن‌های بالا برای تولید مارتنزیت در دکمه جوش فولادهای استحکام بالای پیشرفته نسل اول و حتی در فولادهای کم کربن نیز کافی است. تشکیل مارتنزیت ترد در دکمه جوش منجر به افت عملکرد مکانیکی جوش می‌شود. از طرف دیگر چون جوش مقاومتی نقطه‌ای دارای یک تمرکز تنش ذاتی در منطقه ذوب است، تشکیل فازهای سخت با چقرمگی شکست پایین مارتنزیت، سبب تشدید شرایط رشد ترک از میان دکمه جوش شده و انرژی شکست افت پیدا می‌کند [5-7].

ب نرم‌شدگی منطقه متأثر از حرارت¹ نرم‌شدگی منطقه متأثر از حرارت (کاهش سختی این ناحیه نسبت به سختی فلز پایه²) در برخی گریدهای فولادهای دوفازی از قبیل DP980 و DP780 و نیز در فولادهای مارتنزیتی به دلیل تمپر شدن مارتنزیت در فلز پایه در اثر سیکل حرارتی جوش گزارش شده است [8-11]. این امر منجر به تشویق شکست از قسمت نرم منطقه متأثر از حرارت شده و در نتیجه سبب کاهش استحکام جوش می‌شود [8-11-14].

این چالش‌های متالورژیکی حصول یک جوش با خواص مکانیکی مطلوب را در فولادهای استحکام بالای پیشرفته نسل اول با مشکل همراه می‌کند. استفاده از فولادهای زنگ‌نزن دوبلکس³ با ریزساختار فریت و آستینت و ترکیب بسیار خوبی از استحکام بالا و شکل‌پذیری مناسب، رفتار کرنش‌سختی مناسب و قابلیت جذب انرژی بالا در نرخ کرنش‌های بالا و نیز دارا بودن مقاومت به خوردگی عالی به عنوان یک گزینه مناسب برای قسمت‌هایی از بدنه خودرو که نیاز به جذب انرژی بالا هنگام تصادف دارند، مطرح می‌شود [15,16]. این فولادها استحاله مارتنزیتی را حین سیکل‌های حرارتی⁴ به همراه ندارند و از این‌رو استفاده از آن‌ها می‌تواند مشکلات مربوط به جوشکاری مقاومتی نقطه‌ای فولادهای استحکام بالای پیشرفته را نیز حل کند.

جوشکاری فولادهای دوبلکس نیز با مشخصات متالورژیکی منحصر به فردی همراه است. تعادل فازی فریت و آستینت و نیز تشکیل رسوب‌های بین‌فلزی از جمله مهم‌ترین پدیده‌های متالورژیکی مطرح در جوشکاری فولادهای دوبلکس است [17-20]. این دو پدیده به هم مرتبط هستند. ریزساختار منطقه ذوب در فولادهای دوبلکس به شدت تابع مقادیر کروم معادل و نیکل معادل است. نشان داده شده است که در صورتی که نسبت کروم معادل به نیکل معادل (محاسبه شده براساس نمودار WRC-1992) بیش از 1.85 باشد، انجماد این فولادها به صورت کاملاً فریتی به پایان می‌رسد [20]. فولادهای زنگ‌نزن دوبلکس در گستره نسبت کروم معادل به نیکل معادل 2.25-3.5 قرار می‌گیرند. بر این اساس این فولادها ابتدا به صورت 100% فریتی منجمد شده و شکل‌گیری آستینت از فریت در این فولادها از طریق واکنش حالت جامد تبدیل فریت به آستینت انجام می‌شود که این واکنش با نفوذ حالت جامد کنترل می‌شود؛ بنابراین زمان در دسترس برای نفوذ تعیین‌کننده میزان پیشرفت واکنش فریت-آستینت است. این زمان تابع سرعت سرد شدن فرایند جوشکاری است. هر چه سرعت سرد شدن فرایند جوشکاری بیشتر باشد، میزان آستینت تشکیل شده حین استحاله حالت

¹ Heat-affected zone

² Base metal

³ Duplex stainless steel (DSS)

⁴ Thermal cycle

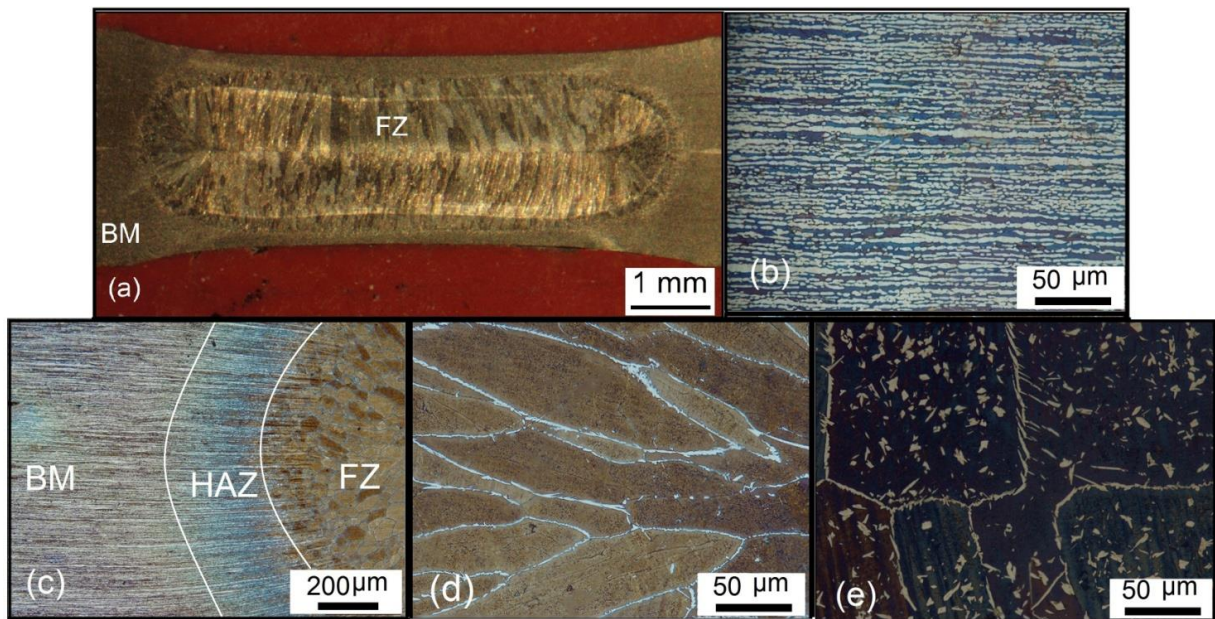


Fig. 1 a- Typical duplex stainless steel resistance spot weld macrostructure, b- Base metal microstructure (Dark and bright phases are Ferrite and Austenite respectively), c- Different regions of duplex stainless steel resistance spot weld, d- Typical microstructure of fusion zone edge, e- Typical microstructure of fusion zone center

شکل 1 الف- ماکروساختار جوش مقاومتی نقطه‌ای فولاد زنگ‌نزن دوبلکس، ب- فلز پایه (فاز تیره، فریت و فاز روشن، آستنیت است)، ج- نواحی مختلف جوش مقاومتی نقطه‌ای فولاد زنگ‌نزن دوبلکس، د- ریزساختار لبه منطقه ذوب، ه- ریزساختار مرکز منطقه ذوب

ریزساختار منطقه ذوب و منطقه متأثر از حرارت دیده می‌شود. در منطقه متأثر از حرارت، حین سیکل گرمایش، ماده دمایی بالاتر از دمای مرز بین منطقه دوفازی آستنیت- فریت و منطقه تک فازی فریتی را تجربه کرده و وارد منطقه پایداری فریت می‌شود و هنگام سرد شدن به دلیل سرعت سرد شدن بالای فرایند جوشکاری، واکنش حالت جامد تبدیل فریت به آستنیت به صورت تعادلی انجام نشده و همان‌طور که در شکل 2 با بزرگ‌نمایی بالاتر نشان داده شده است، میزان درصد آستنیت در این منطقه نسبت به فلز پایه کاهش می‌یابد.

براساس ترکیب شیمیایی داده شده در جدول 1 و روابط کروم معادل و نیکل معادل WRC-1992 [20]، نسبت کروم معادل به نیکل معادل 2.67 است که در محدوده فولادهای زنگ‌نزن دوبلکس قرار می‌گیرد. با در نظر گرفتن مسیر سرد شدن از فاز مذاب، ابتدا فاز فریت از مذاب تشکیل شده و ریزساختار تماماً فریتی می‌شود. سپس طی یک استحاله حالت جامد فریت به آستنیت تبدیل می‌شود. شکل 1-d تصویر ریزساختار دکمه جوش در نواحی مجاور مرز ذوب و شکل 1-e تصویر ریزساختار مرکز دکمه جوش را نشان می‌دهد. در این تصاویر فازهای روشن فاز آستنیت و فاز تیره رنگ فاز فریت است. مطابق با این شکل دانه‌های فریت و در مرز دانه‌ها فاز آستنیت دیده می‌شود. همان‌طور که مشاهده می‌شود درصد آستنیت در هر دو موقعیت بسیار کمتر از مقدار تعادلی (50%) است. به‌طور مثال در جریان 10 کیلوآمپر درصد آستنیت در مرکز منطقه ذوب برابر 5.89 و در کنار منطقه ذوب برابر با 5.04 و در جریان 15 کیلوآمپر در مرکز منطقه ذوب این مقدار برابر با 16.65 و در کنار منطقه ذوب برابر با 6.40 است. این امر به دلیل سرعت سرد شدن بسیار بالای این فرایند و فراهم نشدن زمان برای نفوذ است؛ بنابراین تعادل فازی فریت- آستنیت در دکمه جوش از بین می‌رود.

درصد آستنیت در منطقه مجاور مرز ذوب نسبت به مرکز دکمه جوش

برای بررسی تأثیرات سیکل حرارتی جوش مقاومتی نقطه‌ای روی ریزساختار فولاد زنگ‌نزن دوبلکس از بررسی‌های متالوگرافی استفاده شد. بدین منظور پس از انجام فرآیند استاندارد متالوگرافی شامل برش، تهیه مانع، سمباده‌زنی و پولیش، از محلول اچ براها¹ برای نمایش فاز آستنیت از محلول اچ کالینگ شماره 1² برای نمایش رسوب و از محلول ماربل³ برای ماکروگرافی استفاده شد. برای محاسبه درصد آستنیت از نرم‌افزار کلمکس⁴ استفاده شده است. بدین منظور با فرض یکسان بودن توزیع فازها در بعد سوم در قیاس با تصویر دو بعدی درصد حجمی برابر با درصد سطحی فرض گرفته شد. برای بررسی رفتار مکانیکی این جوش نیز از آزمون کشش- برش⁵ طبق استاندارد ANSI/AWS/SAE D8.9-97 [23] و با سرعت 10 میلی‌متر بر دقیقه استفاده شد. داده‌های مکانیکی گزارش شده میانگین مقادیر دو نمونه مورد آزمایش است.

3- نتایج و بحث

3-1- استحاله‌های فازی در منطقه ذوب

شکل 1-a ماکروساختار جوش مقاومتی نقطه‌ای فولاد زنگ‌نزن دوبلکس را نشان می‌دهد که نواحی مختلف جوش در آن دیده می‌شود. در منطقه ذوب به دلیل حرارت تولیدی، فلز پایه⁶ دچار ذوب مجدد شده و دارای ساختار انجمادی است که دانه‌های ستونی در آن دیده می‌شود. در شکل 1-b تصویر ریزساختار فلز پایه مشاهده می‌شود که دارای 49.5% آستنیت و 50.5% فریت است و ریزساختار آن دارای دانه‌های کشیده حاصل از نورد است که تحت تأثیر سیکل حرارتی جوشکاری واقع نشده است. در شکل 1-c تصویر

¹ Braha

² Kalling No. 1

³ Marble

⁴ Clemex

⁵ Tensile-Shear test

⁶ Base metal

3-2- تأثیر جریان جوشکاری بر ریزساختار جوش مقاومتی نقطه‌ای فولاد زنگ‌نزن دوبلکس

جریان جوشکاری طبق رابطه (1) بر حرارت ورودی جوشکاری در جوش مقاومتی نقطه‌ای مؤثر است [4].

$$Q_w = RI^2t \quad (1)$$

که در این رابطه، Q_w حرارت ورودی جوشکاری، R مقاومت الکتریکی، I جریان جوشکاری و t زمان عبور جریان الکتریکی است. براساس این رابطه با افزایش جریان الکتریکی حرارت تولیدی در منطقه ذوب افزایش یافته، حجم دکمه جوش تشکیل شده افزایش یافته، سرعت سرد شدن کاهش یافته و در نتیجه زمان توقف در بالای دمای مؤثر در انجام واکنش نفوذی فریت-آستنیت بیشتر شده و آستنیت بیشتری تشکیل می‌گردد. شکل 3 تأثیر جریان جوشکاری بر درصد آستنیت شکل گرفته در منطقه ذوب این جوش را نشان می‌دهد. مطابق با این نمودار افزایش جریان جوشکاری موجب افزایش درصد آستنیت شده است.

شکل‌های 4-a تا 4-d به ترتیب تصاویر ریزساختار منطقه ذوب در جریان‌های 8 کیلوآمپر، 10 کیلوآمپر، 12 کیلوآمپر و 14 کیلوآمپر است. براساس این تصاویر مشاهده می‌شود که با افزایش جریان جوشکاری، درصد آستنیت از 4% تا 18% قابل تغییر است. همچنین در جریان‌های پایین‌تر آستنیت فقط در مرزخانه تشکیل شده است، اما در جریان‌های بالاتر علاوه بر آستنیت مرزخانه‌ای، آستنیت درون‌دانه‌ای نیز به طور قابل توجهی تشکیل شده است. دلیل این امر بیشتر بودن سرعت سرد شدن در جریان‌های پایین است. در جریان‌های پایین‌تر زمان برای نفوذ کمتر فراهم است و فقط امکان جوانه‌زنی ناهمگن در مرزخانه‌ها که حجم بحرانی کمتری دارد، فراهم است. با افزایش حرارت تولیدی در جریان‌های بالا، سرعت سرد شدن کاهش می‌یابد که این امر زمان مورد نیاز برای نفوذ عناصر را بیشتر فراهم می‌آورد. پس از حصول ترکیب شیمیایی مورد نیاز برای جوانه‌زنی فاز آستنیت در اثر نفوذ، نیروی محرکه لازم برای تشکیل جوانه همگن نیز فراهم شده و جوانه‌های همگن آستنیت نیز تشکیل می‌گردد که باعث می‌شود که آستنیت بیشتری درون دانه‌های فریت تشکیل شود.

براساس شکل‌های 4-e و 4-f منطقه دکمه جوش حاوی رسوبات بسیار ریزی است. با وجود این که شناسایی دقیق این رسوبات نیازمند بررسی‌های میکروسکوپ الکترونی عبوری است، اما با توجه به مقدار بسیار پایین کربن در



Fig. 2 Heat-affected zone in high magnification showing Austenite solution in Ferrite

شکل 2 منطقه متأثر از حرارت در بزرگ‌نمایی بیشتر که انحلال آستنیت در زمینه فریت را نشان می‌دهد

کمتر است. این امر را می‌توان به کمتر بودن سرعت سرد شدن در مرکز دکمه جوش نسبت به مرز ذوب نسبت داد. در واقع به دلیل نزدیک بودن مرز ذوب به الکترودهای مسی آبگرد مکش حرارتی بیشتر بوده و سرعت سرد شدن در نواحی مجاور مرز ذوب بیشتر از مرکز جوش است.

علاوه بر تفاوت درصد آستنیت در مرکز جوش و نواحی مجاور مرز ذوب، مورفولوژی آستنیت در مرکز جوش با لبه جوش متفاوت است. آستنیت تشکیل شده در مرز ذوب عمدتاً مرزخانه‌ای و آستنیت تشکیل شده در مرکز جوش علاوه بر مرزخانه در درون دانه نیز تشکیل شده است. در واقع برای شکل‌گیری آستنیت دو محل وجود دارد؛ داخل دانه‌های فریت و مرز دانه‌های این فاز. اگر در داخل دانه آستنیت تشکیل شود، مکانیزم این فرایند، جوانه‌زنی همگن است که حجم بحرانی برای تشکیل آستنیت پایدار در این حالت زیاد است، ولی در شکل‌گیری آستنیت در مرز دانه‌ها، جوانه‌زنی ناهمگن است و در نتیجه حجم بحرانی آستنیت برای شکل‌گیری نسبت به حالت همگن کمتر است [25,24]. در این صورت در مرزخانه‌ها به دلیل کمتر بودن حجم بحرانی، شکل‌گیری آستنیت به تجمع کمتری از عناصر نیازمند است که از این منظر این نواحی محل ترجیحی تشکیل آستنیت هستند. به همین دلیل آستنیت ابتدا در مرز دانه‌ها شکل می‌گیرد. البته اگر زمان برای نفوذ به قدر کافی فراهم شود، داخل دانه‌های فریت نیز حجم بحرانی آستنیت فراهم آمده و درون دانه‌های فریت نیز آستنیت تشکیل می‌گردد. این امر تشکیل آستنیت درون دانه‌ای در مرکز جوش نسبت به لبه جوش را توضیح می‌دهد. اگرچه مرزخانه محل مستعدتری نسبت به درون دانه برای تشکیل آستنیت است، اما همان‌طور که در شکل 1-e مشاهده می‌شود، عمده آستنیت تشکیل شده از نوع درون دانه‌ای است. این امر را می‌توان به اندازه درشت دانه‌های فریت اولیه تشکیل شده حین انجماد در فرایند جوشکاری مقاومتی نقطه‌ای نسبت داد. گزارش شده که اندازه دانه فریت اولیه بر مورفولوژی آستنیت تشکیل شده تأثیرگذار است. افزایش اندازه دانه فریت اولیه منجر به افزایش نسبت مساحت ناحیه مستعد تشکیل آستنیت درون دانه‌ای به مساحت ناحیه مستعد تشکیل آستنیت مرزخانه‌ای می‌شود و در نتیجه تشکیل آستنیت درون دانه‌ای تشویق می‌شود [25,24]. علاوه بر آستنیت درون دانه‌ای و مرزخانه‌ای مقدار بسیار کمی آستنیت با مورفولوژی ویدمنشتاتن نیز در برخی از نمونه‌ها مشاهده شد.

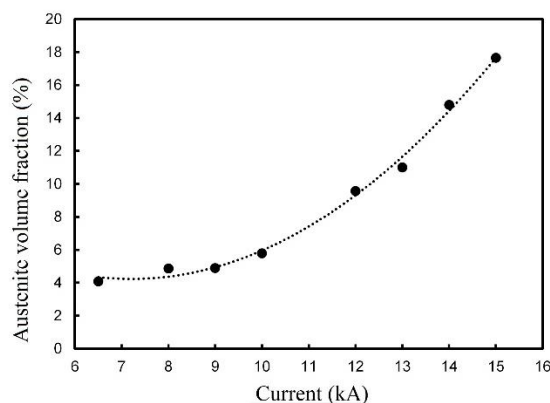


Fig. 3 Effect of welding current on Austenite volume fraction

شکل 3 تأثیر جریان جوشکاری بر کسر حجمی آستنیت

شکل‌های 6 و 7 به ترتیب تأثیر جریان جوشکاری بر نیروی بیشینه و انرژی شکست را نشان می‌دهد. براساس این نمودار با افزایش جریان جوشکاری، نیروی بیشینه و انرژی شکست جوش ها افزایش می‌یابد. افزایش جریان جوشکاری موجب افزایش قطر دکمه جوش می‌شود. افزایش قطر دکمه جوش به معنای افزایش مساحت ناحیه اتصال است. از آنجایی که قطر دکمه جوش فاکتور اصلی کنترل‌کننده خواص مکانیکی جوش‌های مقاومتی نقطه‌ای است [14,13,3]، افزایش این فاکتور موجب افزایش نیروی بیشینه و قابلیت جذب انرژی جوش ها می‌شود.

افزایش جریان بیش از 15 کیلوآمپر، با بیرون‌زدگی مذاب² شدید همراه بود که این امر منجر به فرورفتگی شدید الکتروود در ورق می‌شود؛ بنابراین جریان‌های بالاتر از 15 کیلوآمپر مورد آزمون قرار نگرفت. براساس استاندارد AWS D.8.1 [26]، حداقل استحکام قابل قبول جوش‌های مقاومتی نقطه‌ای فولادها در تست کشش-برش به وسیله رابطه (2) بیان شده است.

$$ST = \frac{1}{1000} \{ [(-6.3627 \times 10^{-7})(S)^2 + (6.5848 \times 10^{-4})(S) + 1.6737](4)(S)(t^{1.5}) \} \quad (2)$$

در آن ST استحکام کششی-برشی جوش نقطه‌ای بر حسب کیلونیوتن، S

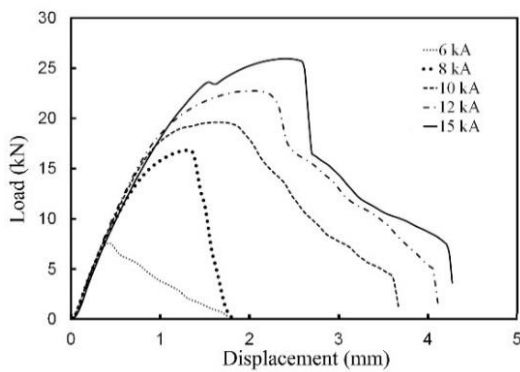


Fig. 5 Load-displacement curves of duplex stainless steel resistance spot weld in different welding current representing mechanical behavior

شکل 5 منحنی‌های نیرو-جابجایی جوش مقاومتی نقطه‌ای فولاد زنگ‌نزن دوبلکس در جریان‌های جوشکاری مختلف به عنوان معرف رفتار مکانیکی این اتصال

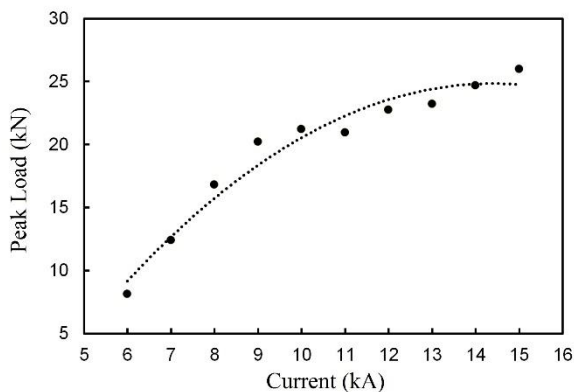


Fig. 6 Effect of welding current on peak load of duplex stainless steel resistance spot weld

شکل 6 تأثیر جریان جوشکاری بر نیروی بیشینه جوش مقاومتی نقطه‌ای فولاد زنگ‌نزن دوبلکس

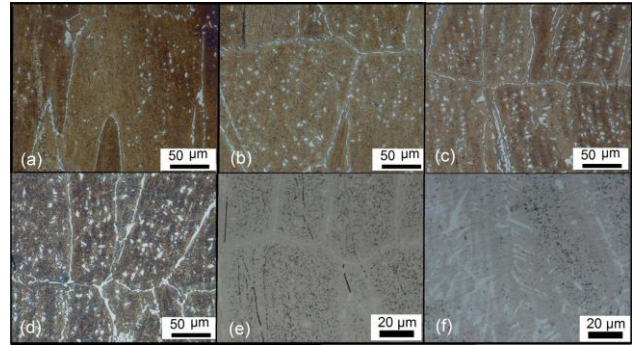


Fig. 4 Effect of welding current on fusion zone microstructure: a- 8 kA, b- 10 kA, c- 12 kA, d- 14 kA, e- Precipitates in fusion zone of 6.5 kA welded sample, f- precipitates in fusion zone of 12 kA welded sample

شکل 4 تأثیر جریان جوشکاری بر ریزساختار منطقه ذوب الف- 8 کیلوآمپر، ب- 10 کیلوآمپر، ج- 12 کیلوآمپر، د- 14 کیلوآمپر، ه- رسوبات موجود در منطقه ذوب در جریان 6.5 کیلوآمپر، س- رسوبات موجود در منطقه ذوب در جریان 12 کیلوآمپر

این فولاد (0.03% وزنی) و وجود مقادیر بالایی از نیتروژن (0.15% وزنی) و کروم (23.4% وزنی) در فلز پایه می‌توان نتیجه گرفت که این رسوبات نیتrideهای غنی از کروم هستند. تحقیقات گذشته نشان می‌دهد که این رسوبات Cr_2N است [17-20].

اختلاف حد حلالیت نیتروژن در فریت و آستنیت به همراه درصد بالای فریت در جوش دلیل اصلی تشکیل رسوبات نیتride در فولادهای دوبلکس است. حد حلالیت نیتروژن در آستنیت بسیار بیشتر از فریت است [20]. همان‌طور که مشاهده شد به دلیل سرعت سرد شدن بالای جوشکاری مقاومتی نقطه‌ای، درصد فریت در دکمه جوش بسیار بالاتر از درصد آستنیت است. در نتیجه میزان نیتروژن موجود در دکمه جوش به دلیل سرعت بالای سرد شدن به صورت بالا اشباع در فریت محبوس باقی می‌ماند. هنگام سرد شدن بیشتر پس از انجام استحاله فریت-آستنیت به دلیل کاهش حد حلالیت نیتروژن در فریت با کاهش دما و وجود بالای کروم در فریت، رسوبات نیتride کروم Cr_2N تشکیل می‌شوند. از آنجایی که آستنیت به دلیل حلالیت بالای نیتروژن در آن به عنوان یک جاذب نیتروژن عمل می‌کند، هرچه میزان آستنیت تشکیل شده کمتر باشد، میزان فوق اشباع فریت از نیتروژن بیشتر شده و نیروی محرکه رسوبدهی در دماهای پایین افزایش می‌یابد. همان‌طور که با مقایسه شکل 4-d و 4-e مشاهده می‌شود میزان رسوبات تشکیل شده با افزایش جریان جوشکاری و در نتیجه افزایش درصد آستنیت کاهش می‌یابد. در فواصل نزدیک به فاز آستنیت به دلیل نفوذ نیتروژن به سمت مرزخانه‌های فریت و تشکیل آستنیت در این مناطق، از آنجایی که آستنیت جاذب نیتروژن است [20]، میزان نیتروژن موجود در نواحی مجاور آن کاهش می‌یابد و در نتیجه میزان فوق اشباع فریت از نیتروژن کاهش یافته و حین سرد شدن تا دمای اتاق در این محدوده باریکی در مجاورت فاز آستنیت، رسوبی تشکیل نمی‌شود که به این ناحیه منطقه فاقد رسوب¹ اطلاق می‌شود.

3-3- رفتار مکانیکی جوش مقاومتی نقطه‌ای فولاد زنگ‌نزن دوبلکس

شکل 5 نمودار نیرو-جابجایی جوش مقاومتی نقطه‌ای فولاد زنگ‌نزن دوبلکس را در جریان‌های مختلف نشان می‌دهد. با توجه به این نمودار مشاهده می‌شود که افزایش جریان جوشکاری، تأثیر قابل توجهی بر رفتار مکانیکی جوش‌ها دارد. برای بررسی بهتر این تغییرات اثر جریان جوشکاری بر نیروی بیشینه و انرژی جذب شده تا نیروی بیشینه بررسی می‌شود.

² Expulsion

¹ Precipitation-free zone

- Journal, Vol. 85, No. 5, pp. 111-116, 2006.
- [5] S. S. Nayak, V. H. Baltazar Hernandez, Y. Okita, Y. Zhou, Microstructure-hardness relationship in the fusion zone of TRIP steel welds, *Materials Science and Engineering: A*, Vol. 551, No. 1 pp. 73-81, 2012.
- [6] V. H. Baltazar Hernandez, M. L. Kuntz, M. I. Khan, Y. Zhou, Influence of microstructure and weld size on the mechanical behaviour of dissimilar AHSS resistance spot welds, *Science and Technology of Welding And Joining*, Vol. 13, No. 8, pp.769-776, 2008.
- [7] M. Pouranvari, Susceptibility to interfacial failure mode in similar and dissimilar resistance spot welds of DP600 dual phase steel and low carbon steel during cross-tension and tensile-shear loading conditions, *Materials Science and Engineering A*, Vol. 546, No. 1, pp.129-138, 2012.
- [8] J. P. Kong, T. K. Han, K. G. Chin, B. G. Park, C. Y. Kang, Effect of boron content and welding current on the mechanical properties of electrical resistance spot welds in complex-phase steels, *Materials & Design*, Vol. 54, No. 1, pp.598-609, 2014.
- [9] V. H. Baltazar Hernandez, S. K. Panda, Y. Okita, N. Y. Zhou, A study on heat affected zone softening in resistance spot welded dual phase steel by nanoindentation, *Materials Science*, Vol. 45, No. 6, pp. 1638-1647, 2010.
- [10] S. Dancette, V. Massardier-Jourdan, D. Fabregue, J. Merlin, T. Dupuy, M. Bouzekri, HAZ microstructures and local mechanical properties of high strength steels resistance spot welds, *Iron & Steel Institute*, Vol. 51, No. 1, pp. 99-107, 2011.
- [11] M. Pouranvari, S. P. H. Marashi, Key factors influencing mechanical performance of dual phase steel resistance spot welds, *Science and Technology of Welding And Joining*, Vol. 15, No. 2, pp. 149-155, 2010.
- [12] S. Dancette, D. Fabregue, V. Massardier, J. Merlin, T. Dupuy, M. Bouzekri, Experimental and modeling investigation of the failure resistance of Advanced High Strength Steels spot welds, *Engineering Fracture Mechanics*, Vol. 78, No. 10, pp. 2259-2272, 2011.
- [13] M. Pouranvari, S. P. H. Marashi, Failure mode transition in AHSS resistance spot welds. Part I. Controlling factors, *Materials Science and Engineering A*, Vol. 528, No. 29-30, pp. 8337-8343, 2011.
- [14] M. Pouranvari, S. P. H. Marashi, D. S. Safanama, Failure mode transition in AHSS resistance spot welds. Part II: Experimental investigation and model validation, *Materials Science and Engineering A*, Vol. 528, No. 29-30 pp. 8344-8352, 2011.
- [15] I. Alvarez-Armas, Duplex Stainless Steels: Brief History and Some Recent Alloy, *Recent Patents on Mechanical Engineering*, Vol 1, No. 1 pp. 51-57, 2010.
- [16] S. Schubert, E. Schedin, T. Frohlich E. Ratte, Next generation vehicle – engineering guidelines for stainless steel in automotive application, *6th Stainless Steel Science and Market Conference*, Helsinki, Finland, pp. 637-644, 2008.
- [17] J. Maetz, S. Cazottes, C. Verdu, X. Kleber, Precipitation and Phase Transformations in 2101 Lean Duplex Stainless Steel During Isothermal Aging, *Metallurgical and Materials Transactions A*, Vol. 47, No. 1, pp. 239-253, 2016.
- [18] H. Hemmer, Ø. Grong, A process model for the heat-affected zone microstructure evolution in duplex stainless steel weldments: Part I. The Model, *Metallurgical and Materials Transactions A*, Vol. 30, No. 11, pp. 2915-2929, 1999.
- [19] H. Hemmer, Ø. Grong, S. Klokkegag, A process model for the heat-affected zone microstructure evolution in duplex stainless steel weldments: Part II. Application to electron beam welding, *Metallurgical and Materials Transactions A*, Vol. 31, No. 3, pp. 1035-1048, 2000.
- [20] J. C. Lippold, D. J. Kotecki, *Welding metallurgy and weldability of stainless steels*, pp. 230-264, New Jersey: Wiley, 2005.
- [21] M. Pouranvari, M. Alizadeh-Sh, S. P. H. Marashi, Welding metallurgy of stainless steels during resistance spot welding Part I: fusion zone, *Science and Technology of Welding and Joining*, Vol. 20, No. 6, pp. 502-511, 2015.
- [22] M. Alizadeh-Sh, M. Pouranvari, S. P. H. Marashi, Welding metallurgy of stainless steels during resistance spot welding Part II: heat affected zone and mechanical performance, *Science and Technology of Welding and Joining*, Vol. 20, No. 6, pp. 512-521, 2015.
- [23] Recommended Practices for Test Methods and Evaluation the

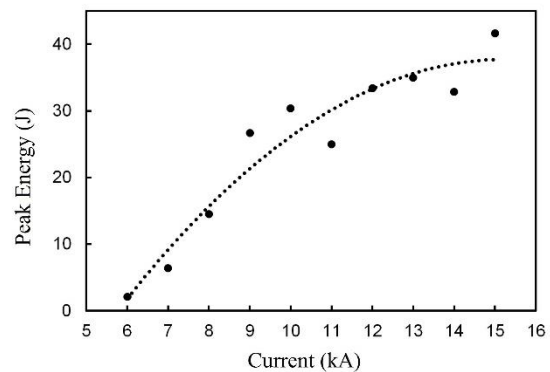


Fig. 7 Effect of welding current on peak energy of duplex stainless steel resistance spot weld

شکل 7 تأثیر جریان جوشکاری بر انرژی جذب شده تا نیروی بیشینه جوش مقاومتی نقطه‌ای فولاد زنگ‌نزن دوبلکس

استحکام کششی فلز پایه برحسب مگاپاسکال و t ضخامت ورق برحسب میلی‌متر است. استحکام کششی فلز پایه حدود 800 مگاپاسکال است؛ در نتیجه حداقل استحکام کشش-برشی جوش‌های نقطه‌ای ورق‌های با ضخامت 1.5 میلی‌متر، برابر 13 کیلونیوتن خواهد بود. براساس شکل 6 جوشکاری با جریان‌های بیشتر از 7 کیلوآمپر منجر به تولید جوش قابل قبولی می‌شود. حداکثر استحکام جوش به‌دست‌آمده در این تحقیق بسیار بیشتر از حداقل استحکام قابل قبول AWS است که بیانگر جوش‌پذیری بسیار خوب این فولاد است. در انتخاب جریان جوش بهینه علاوه بر استحکام مکانیکی باید فاکتورهایی نظیر مصرف انرژی الکتریکی و عمر الکترودها را نیز در نظر گرفت. افزایش بیش از حد جریان منجر به افزایش عمق فرورفتگی الکترودها و کاهش عمر الکترودها می‌شود.

4- نتیجه‌گیری

در این پژوهش تأثیر سیکل حرارتی بر تعادل فازی و رفتار مکانیکی جوش مقاومتی نقطه‌ای فولاد زنگ‌نزن دوبلکس مورد مطالعه قرار گرفت. نتایج نشان داد که سرعت سرد شدن بالای فرایند جوشکاری مقاومتی نقطه‌ای منجر به از بین رفتن تعادل فازی فریت و آستنیت و نیز تشکیل رسوبات نیتريدی غنی از کروم می‌شود. افزایش جریان جوشکاری موجب افزایش درصد آستنیت شکل گرفته در منطقه ذوب تا 18% می‌شود. این افزایش جریان سبب کاهش میزان رسوبات در منطقه ذوب نیز می‌گردد. افزایش جریان جوشکاری منجر به افزایش توأم انرژی جذب‌شده و نیروی بیشینه جوش‌ها شد. جوشکاری با جریان بیشتر از 7 کیلوآمپر جوشی با استحکام قابل قبول طبق استاندارد را ایجاد می‌کند.

5- مراجع

- [1] B. K. Zuidema, Bridging the Design-Manufacturing-Materials Data Gap: Material Properties for Optimum Design and Manufacturing Performance in Light Vehicle Steel-Intensive Body Structures, *The Minerals, Metals & Materials Society*, Vol. 64, No. 9, pp. 1093-1047, 2012.
- [2] R. Kuziak, R. Kawalla, S. Waegler, Advanced high strength steels for automotive industry, *Archives of Civil and Mechanical Engineering*, Vol. 8, No. 2, pp. 103-117, 2008.
- [3] M. Pouranvari and S. P. H. Marashi, critical review of automotive steels spot welding: process, structure and properties, *Science and Technology of Welding And Joining*, Vol. 18, No. 5, pp. 361-403, 2013.
- [4] J. E. Gould, S. P. Khurana, T. Li, Prediction of microstructures when welding automotive advanced high-strength steels, *Welding*

- Kelly, Crystallography of Widmanstätten austenite in duplex stainless steel weld metal, *Science and Technology of Welding and Joining*, Vol. 14, No.1, pp. 4-10, 2009.
- [26] Specification for Automotive Weld Quality—Resistance Spot Welding of Steel; AWS D8.1M, *American Welding Society (AWS)*: Miami, FL, USA, 2013.
- Resistance Spot Welding Behavior of Automotive Sheet Steels, ANSI/AWS/SAE D8.9-97, *American Welding Society*, Miami, FL, USA 1997.
- [24] N. I. A. Haddad, *Development of Microstructure in Duplex Stainless Steel Welds*, Ph.D. Thesis, University of Cambridge, Cambridge, 1989.
- [25] A. J. W. Menezes, H. Abreu, S. Kundu, H. K. D.H Bhadeshia, P.M.